

การเตรียมทั้งสติกออกไซด์ที่รองรับด้วยเอกสารปีเอ-15สำหรับเมทากีซิสของ1-เอกซ์น

นายวรพงศ์ แปงมา

วิทยานิพนธ์นี้เป็นส่วนหนึ่งของการศึกษาตามหลักสูตรปริญญาวิทยาศาสตรมหาบัณฑิต

สาขาวิชาปีตรเคมีและวิทยาศาสตร์พลอเลมอร์

คณะวิทยาศาสตร์ จุฬาลงกรณ์มหาวิทยาลัย

ปีการศึกษา 2546

ISBN 974-17-5186-9

ลิขสิทธิ์ของจุฬาลงกรณ์มหาวิทยาลัย

**PREPARATION OF TUNGSTIC OXIDE SUPPORTED ON SBA-15 FOR  
METATHESIS OF 1-HEXENE**

**Mr. Worapong Pangma**

A Thesis Submitted in Partial Fulfillment of the Requirements  
for the Degree of Master of Science in Petrochemistry and Polymer Science  
Faculty of Science  
Chulalongkorn University  
Academic Year 2003  
ISBN : 974-17-5186-9

**Thesis Title** PREPARATION OF TUNGSTIC OXIDE WITH SBA-15  
FOR METATHESIS REACTION OF 1-HEXENE

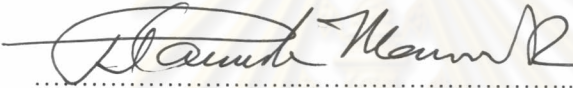
**By** Mr. Worapong Pangma

**Field of Study** Petrochemistry and Polymer Science

**Thesis Advisor** Aticha Chaisawan, Ph.D.

---

Accepted by the Faculty of Science, Chulalongkorn University in Partial Fulfillment of  
the Requirements for the Master's Degree

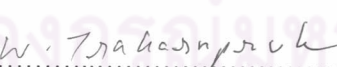
  
.....Dean of the Faculty of Science  
(Professor Piamsak Menasveta, Ph.D.)

Thesis Committee

  
.....Chairman  
(Professor Pattarapan Prasassarakich, Ph.D.)

  
.....Thesis Advisor  
(Aticha Chaisawan, Ph.D.)

  
.....Thesis Co-advisor  
(Soamwadee Chaianansutcharit, Ph.D.)

  
.....Member  
(Associate Professor Wimonrat Trakarnpruk, Ph.D.)

  
.....Member  
(Vipavee P. Hoven, Ph.D.)

นายวรวงศ์ แปงนา : การเตรียมทั้งสติกอกไซค์ที่รองรับด้วยເສນີເອ-15ສໍາຫັນມາທີ່ຈີສອງ1-ເຊັກຊົນ

(PREPARATION OF TUNGSTIC OXIDE SUPPORTED ON SBA-15 FOR METATHESIS OF 1-HEXENE) อาจารย์ที่ปรึกษา : อ.คร.อธิชา ฉายสุวรรณ, จำนวนหน้า 106 หน้า

ISBN 974-17-5186-9.

ได้สังเคราะห์ว่าสคูอสบีเอ-15 ที่มีรูปนุนนาคกลางภายในได้สภาวะที่เป็นกรด โดยใช้ไทรบล็อกโพรอลิเมอร์ชนิดโพลิอทิลีนออกไซด์-โพลิไพรพลีนออกไซด์-โพลิอทิลีนออกไซด์เป็นสารชั้นนำให้เกิดรูปนุน เพื่อใช้เป็นสารรองรับสำหรับการเติร์ยมตัวเร่งปฏิกิริยาเมทานีซิสชนิดใหม่คือหังสติกออกไซด์บัน(esb-e-15) ได้เตรียมตัวเร่งปฏิกิริยาที่ถูกองรับด้วยปริมาณหังสตeten ต่างๆ โดยการใส่สารละลายโซเดียมทังสตेबนสารรองรับด้วยวิธีทำให้ชุ่มพอดี แล้วนำไปเผาที่อุณหภูมิ 500 องศาเซลเซียส เป็นเวลา 10 ชั่วโมง ได้ตรวจสอบลักษณะเฉพาะของตัวเร่งปฏิกิริยาที่ถูกองรับและสารรองรับที่สังเคราะห์ได้ซึ่งบังไม้ได้ใส่หังสตeten ด้วยเครื่องเลี้ยวเบนรังสีเอกซ์ กล้องจุลทรรศน์อิเล็กตรอนแบบส่องราก เครื่องดูดซับในโทรศัพท์มือถือและแกนอัลตราไวโอเลตสเปกโตรมิเตอร์ และเครื่องกระเจิงแสงแบบรามาน พบร่วมสารรองรับ(esb-e-15) ที่สังเคราะห์ได้มีโครงสร้างหากเหลี่ยม มีสัมฐานคล้ายเข็อก และมีพื้นที่ผิวสูง สภาพความเป็นผลึกและพื้นที่ผิวของสารรองรับลดลงเมื่อใส่หังสตeten เข้าไป แต่สัมฐานคล้ายเช็อกของสารรองรับยังคงอยู่ เอสบีเอ-15 มีพื้นที่ผิวสูงมากจึงทำให้หังสตeten ออกไซด์กระจายตัวได้มาก โดยเฉพาะอย่างยิ่งที่ปริมาณหังสตeten ออกไซด์ต่ำกว่า 5 เปอร์เซ็นต์ จึงทำให้ไม่พบสเปกตรัมของหังสตeten ออกไซด์ที่จะกันเป็นกลุ่ม โดยการตรวจสอบด้วยเทคนิคการกระเจิงแสงแบบรามานและดิฟฟิวชันไฟล์กแทบทันซ์ อัลตราไวโอเลต ได้หาอุณหภูมิที่เหมาะสมสำหรับปฏิกิริยาเมทานีซิสในช่วง 100 ถึง 500 องศาเซลเซียส โดยใช้ 5% หังสตeten ออกไซด์บัน(esb-e-15) และ 30.5% ไอะโรเบนซิน 1-เอกซีนในโทรศัพท์มือถือนี้เป็นสารตั้งต้น พบร่วมอุณหภูมิที่เหมาะสมสำหรับเมทานีซิสของ 1-เอกซีนคือ 300 องศาเซลเซียส ซึ่งให้ความเสื่อมจำเพาะปานกลางและสูงสุดต่ออิเล็กตรอนและต่อโพธิลีนตามลำดับ ความเสื่อมจำเพาะต่ออิเล็กตรอนและโพธิลีนเพิ่มขึ้น เมื่อเพิ่มปริมาณหังสตeten บน(esb-e-15)

## หลักสูตร ปีตรีเคมีและวิทยาศาสตร์พอลิเมอร์

## สาขาวิชาปีโตรเคมีและวิทยาศาสตร์พอลิเมอร์

ลายมือชื่ออาจารย์ที่ปรึกษา..... 086 The form

ปีการศึกษา 2546

# # 4472389523 : MAJOR PETROCHEMISTRY AND POLYMERSCIENCE

KEY WORD: OLEFIN METATHESIS/TUNGSTEN OXIDE/SBA-15

WORAPONG PANGMA: PREPARATION OF TUNGSTIC OXIDE

SUPPORTED ON SBA-15 FOR METATHESIS OF 1-HEXENE.

THESIS ADVISOR: ATICHA CHAISUWAN, Ph.D. 106 pp.,ISBN 974-17-5186-9

A mesoporous SBA-15 material was synthesized under acidic condition by using triblock copolymer, Poly(ethylene oxide)-Poly(propylene oxide)-Poly(ethylene oxide), as the pore directing agent in order to use as support for preparation of a new metathesis catalyst,  $\text{WO}_3/\text{SBA-15}$ . The supported catalysts with various tungsten contents were prepared by impregnation of the support with a solution of sodium tungstate via incipient-wetness method followed by calcination at the temperature of 500°C for 10 hours. The supported catalysts and the synthesized support, which was not loaded with tungsten, were characterized using X-ray diffractometer, scanning electron microscope, nitrogen adsorptometer, diffuse reflectance ultraviolet spectrometer and Raman scattering. It is found that the synthesized SBA-15 support has hexagonal structure, rope-like morphology and high surface area. Crystallinity and surface area of SBA-15 are reduced when it was loaded with tungsten. However, rope-like morphology of SBA-15 still remained. High surface area of SBA-15 results in high dispersion of tungsten oxide, particularly at tungsten loading less than 5%. This is accounted for no observation of  $\text{WO}_3$  crystallite by Raman scattering and diffuse reflectance ultraviolet techniques. The optimal reaction temperature was investigated over the range of 100-500°C by using 5%  $\text{WO}_3/\text{SBA-15}$  as catalyst and 30.5% 1-hexene vapor in nitrogen as feed. The optimal reaction temperature for metathesis reaction of 1-hexene is 300°C while providing the moderate and highest selectivity to ethylene and propylene, respectively. At 300°C, the selectivity to ethylene and propylene increases with increasing the loading amount of tungsten on SBA-15.

Department Petrochemistry and Polymer Science Student's signature.....W. Pangma

Field of study Petrochemistry and Polymer Science Advisor's signature.....A. Chaisuwan

Academic year 2003.....

## ACKNOWLEDGEMENT

The author wishes to express his deepest appreciation to his thesis advisor, Dr. Aticha Chaisuwan, for her assistance and encouragement in conducting this research. He is grateful to Dr. Soamwadee Chaianansutcharit for her valuable advice and helpful throughout of this study. He is also greatful to his thesis committee, Professor Pattarapan Prasassarakich, Associate Professor Wimonrat Trakarnpruk, Dr.Vipavee P. Hoven for their comments and suggestions. He would also like to thank Thai Olefin Company for providing the standard mixtures for GC analysis. He deeply appreciates the Department of Chemistry, Faculty of Science, Chulalongkorn University for providing the convenience in laboratories and instruments. Furthermore, he would like to thank the Graduate School, Chulalongkorn University for the research grant.

Finally, he would also like to express his gratitude to his family for their great support and his thanks would be given to all his friends for their friendship and help during his graduate study.

ศูนย์วิทยบรังษยการ  
จุฬาลงกรณ์มหาวิทยาลัย

# CONTENTS

	<b>Page</b>
ABSTRACT IN THAI.....	iv
ABSTRACT IN ENGLISH.....	v
ACKNOWLEDGEMENT.....	vi
LIST OF FIGURES.....	ix
LIST OF SCHEMES.....	xii
LIST OF TABLES.....	xiii
LIST OF ABBREVIATIONS.....	xiv
CHAPTER I INTRODUCTION.....	1
1.1    Background.....	1
1.2    Objectives.....	4
1.3    Scope of work .....	4
1.4    Literature Reviews.....	5
CHAPTER II THEORY.....	16
2.1    Molecular Sieves .....	16
2.1.1    Zeolites.....	17
2.1.2    Shape Selectivity.....	18
2.1.3    Mesoporous Materials .....	20
2.1.3.1    Characterization of Mesoporous Hexagonal Structure.....	20
2.1.3.2    Synthesis Strategies.....	22
2.1.3.3    Role of the Polar Head Charge.....	25

## CONTENTS (CONTINUED)

	Page
2.2 Block copolymer-Templated Mesoporous Materials.....	28
2.2.1 Formation of Mesostructure with Block Copolymer.....	32
2.2.2 The Role of the Hybrid Interface.....	34
2.3 SBA-15.....	36
2.3.1 Porosity of SBA-15: Formation Mechanisms .....	36
2.3.2 The Features of SBA-15.....	38
2.4 Olefin Metathesis.....	40
2.4.1 Definition of Olefin Metathesis.....	40
2.4.2 Mechanism of Olefin Metathesis.....	42
2.5 Olefin Metathesis Catalysts.....	45
2.5.1 Supported Metal Catalysts.....	45
2.5.2 Catalyst Preparation.....	50
 CHAPTER III EXPERIMENTS.....	52
3.1 Equipment and Apparatus .....	52
3.2 Chemicals and Gases.....	56
3.3 Synthesis of SBA-15.....	56
3.4 Organic Template Removal .....	57
3.5 Impregnation of WO <sub>3</sub> on SBA-15.....	57
3.6 Catalytic Activity Test of WO <sub>3</sub> /SBA-15 for Metathesis of 1-Hexene.....	58
3.6.1 Effect of Temperature on Catalytic Activity.....	59
3.6.2 Effect of Tungsten Content on Catalytic Activity.....	59

## CONTENTS (CONTINUED)

	Page
CHAPTER IV RESULTS AND DISCUSSION.....	61
4.1 Characterization of Supported Tungsten Catalysts.....	61
4.1.1 XRD Results.....	61
4.1.2 Scanning Electron Microscopic Image.....	66
4.1.3 BET Specific Surface Area.....	66
4.1.4 DR-UV spectra .....	69
4.1.5 Subtraction Laser Raman Spectra .....	71
4.2 Calcination Condition of SBA-15 and Supported Tungsten Catalysts .....	73
4.2.1 Effect of Time on Template Removal.....	73
4.2.2 Effect of Moisture on XRD Peak Intensity.....	75
4.2 Catalytic Activities of WO <sub>3</sub> /SBA-15 Catalysts for Metathesis of 1- Hexene.....	77
4.3.1 Effect of Temperature on Catalytic Activities.....	77
4.3.2 Effect of WO <sub>3</sub> Loading on Catalytic Activities.....	82
CHAPTER V CONCLUSION.....	87
REFERENCES.....	88
APPENDICES.....	94
VITAE.....	106

## LIST OF FIGURES

<b>Figure</b>		<b>Page</b>
1.1	The OTC process (reversed Phillips Triolefin Process).....	6
1.2	Propylene production with Meta-4 process .....	8
1.3	The neohexene process; DIB: di-isobutene .....	9
2.1	A primary building unit of zeolites .....	17
2.2	Framework of a zeolite .....	17
2.3	Diagram depicting three types of selectivity: reactant, product and transition-state shape selectivity .....	19
2.4	Diffraction of X-ray by a crystal.....	21
2.5	A hexagonal cell showing the cell parameter ( $a$ ), the wall thickness ( $t$ ), and the cylindrical pore of $D_{BdB}$ diameter which possesses the same section as the corresponding hexagonal pore.....	22
2.6	Main synthetic approaches for mesostructured materials .....	24
2.7	Micellar structures: (A) sphere (B) cylinder (C) planar bilayer (D) reverse micelles (E) bicontinuous phase (F) liposomes .....	25
2.8	Representation of the different types of silica-surfactant interfaces.....	26
2.9	Block copolymer used in mesostructure generation.....	28
2.10	The steps leading from a solution to a mesoporous oxide network .....	33
2.11	The main relationships between the solvent, the template and the inorganic center ....	34
2.12	Different possible interactions of a HI.....	35
2.13	Scheme of the pore evolution upon thermal treatment, depending on pre-treatment and aging.....	37

## LIST OF FIGURES (CONTINUED)

Figure	Page
2.14 SEM image show morphology of SBA-15.....	39
2.15 The olefin metathesis reaction is catalyzed on the metal–alkylidene sites which are formed by the adsorption of olefins or by some other reactions.....	44
2.16 Total mechanism for the propylene metathesis reaction.....	45
2.17 Metathesis of 1-hexene in the presence of isomerization .....	49
3.1 The apparatus for metathesis reaction.....	55
4.1 XRD patterns of (A) as-synthesized SBA-15, and (B) calcined SBA-15.....	62
4.2 XRD patterns of $\text{WO}_3/\text{SBA-15}$ at various $\text{WO}_3$ loadings.....	63
4.3 SEM images of pure silica SBA-15 with (A) $\times 500$ , (B) $\times 5,000$ , and (C) $\times 20,000$ magnification.....	64
4.4 SEM image vs. X-ray mapping of (A) 1% $\text{WO}_3/\text{SBA-15}$ , (B) 5% $\text{WO}_3/\text{SBA-15}$ and (C) 10% $\text{WO}_3/\text{SBA-15}$ .....	65
4.5 $\text{N}_2$ adsorption-desorption isotherm of (A) SBA-15, (B) 1% $\text{WO}_3/\text{SBA-15}$ , (C) 3% $\text{WO}_3/\text{SBA-15}$ , (D) 5% $\text{WO}_3/\text{SBA-15}$ , (E) 7% $\text{WO}_3/\text{SBA-15}$ , and (F) 10% $\text{WO}_3/\text{SBA-15}$ .....	67
4.6 Pore size distribution of (A) SBA-15 ,(B) 1% $\text{WO}_3/\text{SBA-15}$ , (C) 3% $\text{WO}_3/\text{SBA-15}$ , (D) 5% $\text{WO}_3/\text{SBA-15}$ , (E) 7% $\text{WO}_3/\text{SBA-15}$ , and (F) 10% $\text{WO}_3/\text{SBA-15}$ .....	68
4.7 DR-UV spectra of reference tungstate species.....	70
4.8 DR-UV spectra of SBA-15 and $\text{WO}_3/\text{SBA-15}$ catalysts at various loadings of $\text{WO}_3$ .....	70
4.9 Subtraction Laser Raman spectra of (A) 1% $\text{WO}_3/\text{SBA-15}$ , (B) 5% $\text{WO}_3/\text{SBA-15}$ and (C) 10% $\text{WO}_3/\text{SBA-15}$ .....	72
4.10 XRD patterns and SEM images of (A) as-synthesized SBA-15 (B) calcined SBA-15 at 500 °C for 5 h and (C) calcined SBA-15 at 500 °C for 10 h.....	74

## LIST OF FIGURES (CONTINUED)

Figure		Page
4.11	XRD patterns of as-synthesized SBA-15 before and after treatment at 100°C (Figure A-E refer to sample A-E in Table 4.2).....	76
4.12	Reaction of 1-hexene during metathesis course.....	79
4.13	Gas product distribution of 1-hexene conversion catalyzed by 5% WO <sub>3</sub> /SBA-15 at various reaction temperatures (GSHV = 500 h <sup>-1</sup> , time on stream = 30 min).....	80
4.14	Liquid product distribution of 1-hexene conversion catalyzed by 5% WO <sub>3</sub> /SBA-15 at various reaction temperatures (GSHV = 500 h <sup>-1</sup> , time on stream = 30 min).....	81
4.15	Gas product distribution of 1-hexene conversion catalyzed by WO <sub>3</sub> /SBA-15 at various tungsten loading (T = 300°C, GSHV = 500 h <sup>-1</sup> , time on stream = 30 min).....	85
4.16	Liquid product distribution of 1-hexene conversion catalyzed by 5% WO <sub>3</sub> /SBA-15 at various tungsten loading (T = 300°C, GSHV = 500 h <sup>-1</sup> , time on stream = 30 min).....	86

ศูนย์วิทยทรัพยากร  
จุฬาลงกรณ์มหาวิทยาลัย

## LIST OF SCHEMES

Scheme	Page
2.1 Classification of catalysts.....	46
3.1 The GC heating program for gas analysis.....	54
3.2 The GC heating program for liquid analysis.....	54
3.3 Preparation diagram for SBA-15 support.....	57

ศูนย์วิทยทรัพยากร  
จุฬาลงกรณ์มหาวิทยาลัย

## LIST OF TABLES

Table	Page
1.1 Changes in global demand for ethylene derivatives ( in equivalent tons of ethylene )...	2
1.2 Global and regional demand for ethylene derivatives (in equivalent tons of ethylene)...	3
1.3 Global and regional demand for propylene derivatives ( in equivalent tons of propylene).....	3
2.1 Classification of porous materials.....	16
2.2 Examples of mesostructured inorganic materials showing different interactions between the surfactant and the inorganic framework.....	27
2.3 Characteristics of surfactants and block copolymer.....	29
2.4 Physicochemical properties of SBA-15 with various aging time and temperature.....	39
3.1 The amount of sodium tungstate impregnated on various supports.....	58
4.1 BET specific surface area of SBA-15 and WO <sub>3</sub> /SBA-15 catalysts.....	66
4.2 XRD peak intensity of as-synthesized SBA-15 before and after treatment at 100°C....	75
4.3 Catalytic activities of 5% WO <sub>3</sub> /SBA-15 catalyst in 1-hexene conversion at various temperatures, feed of 30.5% 1-hexene in nitrogen, time on stream of 30 min.....	77
4.4 Catalytic activities WO <sub>3</sub> /SBA-15 catalyst in 1-hexene conversion at various percentage of WO <sub>3</sub> , feed of 30.5% 1-hexene in nitrogen, time on stream of 30 min, and temperature of 300°C.....	82

**จุฬาลงกรณ์มหาวิทยาลัย**

## LIST OF ABBREVIATIONS

BET	=	Brunauer-Emmett-Teller
DR-UV	=	Diffuse Reflectance-Ultraviolet Spectroscopy
EO <sub>20</sub> -PO <sub>70</sub> -EO <sub>20</sub>	=	Poly(ethylene oxide) <sub>20</sub> -Poly(propylene oxide) <sub>70</sub> -Poly(ethylene oxide) <sub>20</sub>
FSM-16	=	Folded Sheet Mesoporous-16
GC	=	Gas Chromatography or Chromatograph
GHSV	=	Gas-Hourly Space Velocity
HMS	=	Hexagonal Mesoporous Silica
MCM-41	=	Mobil Composition of Matter-41
OCT	=	Olefin Conversion Technology
SBA-15	=	Santa Barbara-15
SEM	=	Scanning Electron Microscope
TEOS	=	Tetraethyl Orthosilicate
XRD	=	X-ray diffractometer or diffraction

**ศูนย์วิทยทรัพยากร  
จุฬาลงกรณ์มหาวิทยาลัย**